

Research Paper

Influence of Intrinsic Decoherence on Entanglement and Teleportation in Jaynes-Cummings Model in a Two- Qutrit System¹

Azita Naji^{*2}, Akram Ghoshoni³and Davood Afshar⁴

Received: 2022.06.10

Revised: 2022.12.04

Accepted: 2023.01.24

Abstract

This paper uses the Jaynes-Cummings model to investigate the entanglement of a two-qutrit state in a cavity. The entanglement is analyzed as a function of decoherence rate, coupling constant, and frequency of atomic transition. We note that this entanglement is decreased passing time and the negativity is an increasing function of the frequency of atomic transition. The negativity at first is an increasing function of the coupling constant, then for higher values of the coupling constant, the negativity decreases with the increase of the coupling constant and over time it tends to zero. We also investigate the influence of intrinsic decoherence on quantum teleportation via this two-qutrit state. We plot the fidelity as a function of the decoherence rate, the coupling constant, and the atomic transition frequency. The results show that the fidelity decreases with an increasing decoherence rate. Moreover, the frequency of fidelity oscillations is an increasing function of the atomic transition frequency. The fidelity is relatively independent of the coupling constant, especially at a higher value of the coupling constant.

Keywords: *Entanglement, Intrinsic Decoherence, Jaynes-Cummings Model, Two-Qutrit System, Quantum Teleportation.*

¹ DOI: 10.22051/ijap.2023.40663.1284

¹Assistant Professor, Department of Physics, Faculty of Science, Shahid Chamran University of Ahvaz, Ahvaz, Iran. (Corresponding Author). Email: az.naji56@gmail.com

²M.Sc. in Physics, Department of Physics, Faculty of Science, Shahid Chamran University of Ahvaz, Ahvaz, Iran. Email: ghoshooni.bonyadi.93@gmail.com

³Associate Professor, Department of Physics, Faculty of Science, Shahid Chamran University of Ahvaz, Ahvaz, Iran. Email: d_afshar@yahoo.com



تأثیر واهمدوسی ذاتی بر درهم‌تنیدگی و وفاداری در الگوی

جینز-کامینگز در سامانه دو-کیوتربیتی^۱

آذیتا ناجی^۲، اکرم قشوونی^۳ و داود افشار^۴

تاریخ دریافت: ۱۴۰۱/۰۳/۲۰

فصلنامه علمی فیزیک کاربردی ایران

تاریخ بازنگری: ۱۴۰۱/۰۹/۱۳

دانشکده فیزیک، دانشگاه الزهرا

تاریخ پذیرش: ۱۴۰۱/۱۱/۰۴

سال سیزدهم، پیاپی ۳۲، بهار ۱۴۰۲

صفص ۶۱ - ۷۴

چکیده:

در این مقاله درهم‌تنیدگی یک حالت دو-کیوتربیتی در یک کاواک در الگوی جینز-کامینگز تحت واهمدوسی ذاتی مطالعه شده است. تأثیر پارامتر واهمدوسی ذاتی، ضریب جفت‌شدگی و بسامد گذار اتمی بر درهم‌تنیدگی در سامانه دو-کیوتربیتی بررسی شده است. نتایج نشان داد که درهم‌تنیدگی با گذشت زمان کاهش می‌یابد و بر حسب بسامد، گذار اتمی تابعی افزایشی است. منفیت در ابتدا با افزایش ضریب جفت‌شدگی افزایش می‌یابد ولی برای مقادیر بزرگ‌تر ضریب جفت‌شدگی، با افزایش ضریب جفت‌شدگی کاهش می‌یابد و پس از زمان کوتاهی به صفر می‌کند. به صورتی که زمان مرگ درهم‌تنیدگی تابعی کاهشی از ضریب جفت‌شدگی است. افزون براین، اثر واهمدوسی ذاتی بر تراپرد کوانتمومی با استفاده از این حالت دو-کیوتربیتی بررسی شده است. با رسم نمودار وفاداری بر حسب مقادیر مختلف پارامتر واهمدوسی، ضریب جفت‌شدگی و بسامد گذار اتمی مشاهده شد که با افزایش ضریب واهمدوسی، وفاداری کاهش می‌یابد. هم‌چنین افزایش بسامد گذار اتمی سبب افزایش بسامد نوسانات وفاداری می‌شود. مقایسه منحنی‌ها نشان می‌دهد که وفاداری، به ویژه در مقادیر بزرگ ضریب جفت‌شدگی، کمایش مستقل از ضریب جفت‌شدگی است.

واژگان کلیدی: درهم‌تنیدگی، واهمدوسی ذاتی، الگوی جینز-کامینگز، سامانه دو-کیوتربیتی، تراپرد کوانتمومی.

^۱ DOI: 10.22051/ijap.2023.40663.1284

استادیار، گروه فیزیک، دانشکده علوم، دانشگاه شهید چمران اهواز، اهواز، ایران. (نویسنده مسئول).

دانش آموخته کارشناسی ارشد، گروه فیزیک، دانشکده علوم، دانشگاه شهید چمران اهواز، اهواز، ایران. Email: ghoshooni.bonyadi.93@gmail.com

دانشیار، گروه فیزیک، دانشکده علوم، دانشگاه شهید چمران اهواز، اهواز، ایران. Email: d_afshar@yahoo.com



۱. مقدمه

درهم تنیدگی کوانتمومی یک مفهوم اساسی در اطلاعات و محاسبات کوانتمومی است [۱]. ناموضعیت و همدوسی حالت‌های درهم تنیده در فرآیندهایی چون ترابرد کوانتمومی، کدگذاری فوق چگال، رمزنگاری و ارتباطات کوانتمومی نقش اساسی بازی می‌کند [۶-۱]. از طرفی برهم کنش هر سامانه با محیط خود، سبب از بین رفن قسمتی از اطلاعات سامانه می‌شود که این فرآیند را واهمندوسی می‌نامند. در سال‌های کنونی، روش‌های متعددی برای حل مسئله واهمندوسی بیان شده است [۷]. یکی از این روش‌ها واهمندوسی ذاتی است که توسط میلیون ارائه شده است [۸-۱۰]. معادله میلیون رشودینگر معمولی است [۱۱]. اثر واهمندوسی ذاتی بر دینامیک درهم تنیدگی و ترابرد کوانتمومی در چندین سامانه مطالعه شده است [۱۱-۱۴]. کاواک الکترودینامیک کوانتمومی به دلیل تولید درهم تنیدگی و ترابرد کوانتمومی در رایانه‌های کوانتمومی توجهات زیادی را جلب کرده است [۱۵-۲۰]. بررسی واهمندوسی ذاتی بر روی درهم تنیدگی و ترابرد در زنجیره‌های کیوپیتی بسیار مورد توجه بوده است [۲۱-۲۳]. اگرچه، پژوهش در مورد ترابرد کوانتمومی از راه زنجیره‌های کیوپریتی اندک است [۲۴، ۲۵]. از این رو، در این مقاله به زنجیره کیوپریتی پرداخته شده است تا با بررسی تأثیر پارامترهای مختلف و تنظیم آن‌ها درهم تنیدگی را افزایش داده و ترابرد از راه این کanal به صورت مؤثر بهبود بخشدید.

هدف این مقاله، بررسی دگرگونی زمانی درهم تنیدگی و ترابرد کوانتمومی برای حالت‌های دو-کیوپریتی در یک کاواک با استفاده از الگوی جیتز-کامینگز [۲۶] و واهمندوسی ذاتی [۸] است. ابتدا هامیلتونی سامانه معرفی و ماتریس چگالی آن محاسبه می‌شود. سپس درهم تنیدگی سامانه کوانتمومی را با محاسبه منفیت مورد بررسی قرار می‌دهیم. هم‌چنین وفاداری کانال درهم تنیده را تحت دگرگونی زمانی میلیون مطالعه خواهیم کرد. اثر پارامتر واهمندوس ذاتی و ضربی جفت‌شدگی و بسامد گذار اتمی بر درهم تنیدگی و ترابرد مورد بحث قرار می‌گیرد.



۲. هامیلتونی سامانه

برهم کنش دو اتم سه-ترازه با میدان کوانتیده یک کاواک را درنظر بگیرید، فرض می کنیم که بسامد ω مربوط به حالت های کاواک است و به بسامد ω_{eg} مربوط به گذار اتمی $|g\rangle \rightarrow |e\rangle$ نزدیک باشد، بنابراین اتم تنها با آن حالت به صورت مؤثر برهم کنش می کند و حالت های دیگر با بسامدهای بزرگتر با اتم جفت نمی شوند و می توان آن ها را کنار گذاشت. هامیلتونی کل برای سامانه عبارت است از [۲۶]:

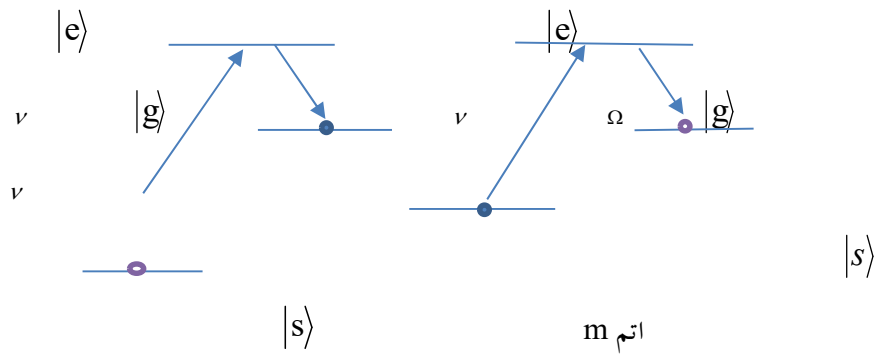
$$H = H_{atoms} + H_{field} + H_{int} \quad (1)$$

که در آن H_{atoms} هامیلتونی اتم سه ترازه، H_{field} هامیلتونی میدان کاواک و H_{int} هامیلتونی برهم کنش اتم-میدان است.

اندر کنش دو-کیوتربیتی با یک کاواک تک حالتی در چارچوب چرخان با بسامد کاواک و میدان محرک تعریف می شود. هامیلتونی سامانه مرکب $A_l + A_m + C$ ، که در فضای هیلبرت $H_l \otimes H_m \otimes H_C$ تعریف می شود، عبارت است از:

$$H = -\hbar \left[V_l \hat{\sigma}_{se}^{A_l} - \Omega_l \hat{\sigma}_{eg}^{A_l} \hat{a} + V_m \hat{\sigma}_{se}^{A_m} - \Omega_m \hat{\sigma}_{eg}^{A_m} \hat{a} + H.C \right] \quad (2)$$

که در آن $\hat{\sigma}_{\mu\nu}^{A_j}$ عملگر گذار اتمی ($j=l, m$) است و به صورت $|\mu\rangle\langle v|$ تعریف می شود، بسامد رابی گذار اتمی متناظر با v و قدرت جفت شدگی اتم-میدان با Ω نمایش داده شده است. \hat{a} عملگر نابودی حالت کاواک است و $H.C$ همیغ هرمیتی کل عبارت را بیان می کند. فرض می شود ترازهای انرژی اتم های سه ترازه به صورت Λ (مطابق شکل ۱) باشد و برای سادگی تنها اتم ها با میدان کاواک در گذار $|g\rangle \leftrightarrow |e\rangle$ با ضریب جفت شدگی یکسان Ω برهم کنش می کنند. به صورتی که ابتدا اتم m در تراز $|g\rangle$ باشد و کاواک در حالت خلاء $|0\rangle$ باشد. اگر اتم l در تراز $|g\rangle$ باشد، آنگاه سامانه مرکب تحت تأثیر هامیلتونی (۱) جدا می شود یعنی $\hat{H}|g, g, 0\rangle = 0$. از این رو، نیاز داریم که تنها تحول سامانه اولیه را در حالت $|s, g, 0\rangle$ درنظر بگیریم.



شکل ۱ نمایش ترازهای انرژی اتم‌های m_1 و فرکانس گذار اتمی.

هامیلتونی (۲) را به شکل ماتریس زیر می‌توان نوشت،

$$H = -\hbar \begin{pmatrix} 0 & \nu_l & 0 & 0 & 0 \\ \nu_l & 0 & -\Omega_l & 0 & 0 \\ 0 & -\Omega_l & 0 & -\Omega_m & 0 \\ 0 & 0 & -\Omega_m & 0 & \nu_m \\ 0 & 0 & 0 & \nu_m & 0 \end{pmatrix} \quad (3)$$

نمایش ماتریسی در پایه‌های $\{|s, g, 0\rangle, |e, g, 0\rangle, |g, g, 1\rangle, |g, e, 0\rangle, |g, s, 0\rangle\}$ نوشته شده است و تأثیر هامیلتونی بر این پایه‌ها به صورت زیر است،

$$H|s, g, 0\rangle = -\hbar(\nu_l |e, g, 0\rangle) \quad (4)$$

$$H|e, g, 0\rangle = -\hbar(\nu_l |s, g, 0\rangle - \Omega_l |g, g, 1\rangle) \quad (5)$$

$$H|g, g, 1\rangle = -\hbar(-\Omega_m |g, e, 0\rangle - \Omega_l |e, g, 0\rangle) \quad (6)$$

$$H|g, e, 0\rangle = -\hbar(-\Omega_m |g, g, 1\rangle + \nu_m |g, s, 0\rangle) \quad (7)$$

$$H|g, s, 0\rangle = -\hbar(\nu_m |g, e, 0\rangle) \quad (8)$$

معادله اصلی بیان کنندهٔ واهمدوسی ذاتی تحت تقریب مارکوفی که اولین بار توسط میلبورن ارائه شد، به شکل زیر داده می‌شود [۸]،

$$\frac{d\rho(t)}{dt} = -i[H, \rho(t)] - \frac{\Gamma}{2}[H, [H, \rho(t)]] \quad (9)$$



که در آن Γ پارامتر واهمدوسی ذاتی است. جواب معادله اصلی بالا را می‌توان به شکل زیر بیان کرد [۱۳]،

$$\rho(t) = \sum_{k=0}^{\infty} \frac{(\Gamma t)^k}{k!} M^k \rho(0) M^{\dagger k} \quad (10)$$

که در آن $\rho(0)$ عملگر چگالی اولیه سامانه و $M^k = H^k e^{-iHt} e^{-\frac{\Gamma t}{2} H^2}$ به صورت تعریف می‌شود [۱۳]،

به آسانی می‌توان نشان داد که نمایش دینامیک عملگر چگالی سامانه مورد نظر که در ابتدا در حالت $\rho(0)$ بوده است بر حسب معادله (۱۰) تحت واهمدوسی ذاتی به شکل زیر است [۱۵]،

$$\hat{\rho}(t) = \sum_{m,n} \exp \left[-\frac{\Gamma t}{2} (E_m - E_n)^2 - i(E_m - E_n)t \right] \times \langle \psi_m | \hat{\rho}(0) | \psi_n \rangle | \psi_m \rangle \langle \psi_n | \quad (12)$$

که در آن $\psi_i (i = m, n)$ و $E_i (i = m, n)$ به ترتیب ویژه مقادیر و ویژه بردارهای مربوط به هامیلتونی \hat{H} در معادله (۳) هستند.

حالت اولیه سامانه مرکب را به صورت زیر در نظر می‌گیریم،

$$|\psi_0\rangle = |s, g, 0\rangle \quad (13)$$

از این رو، $\rho(0)$ به صورت زیر نوشته می‌شود،

$$\rho_0 = |s, g, 0\rangle \langle s, g, 0| = \begin{pmatrix} 1 & 0 & 0 & 0 & 0 \\ 0 & 0 & 0 & 0 & 0 \\ 0 & 0 & 0 & 0 & 0 \\ 0 & 0 & 0 & 0 & 0 \\ 0 & 0 & 0 & 0 & 0 \end{pmatrix} \quad (14)$$

با استفاده از روابط (۱۲) و (۱۴) می‌توانیم $\rho(t)$ کل سامانه را به دست آوریم. سپس نسبت به پایه‌های میدان رد جزئی می‌گیریم و ماتریس چگالی کاهش یافته دو اتم را محاسبه می‌کنیم. با توجه به حجم محاسبات از آوردن عناصر ماتریس چگالی در اینجا خودداری شده است.

۳. درهم تبیین‌گی سامانه

منفیت یک سنجشگر درهم تبیین‌گی است که توسط ویدال معرفی شده است [۲۷] و به صورت عملی با استفاده از مدارهای کوانتمی بدون نویه اندازه‌گیری شده است [۲۸]. منفیت $N(\rho)$ برای هر

حال دلخواه از سامانه‌های دو جزئی به صورت زیر تعریف می‌شود [۲۷]

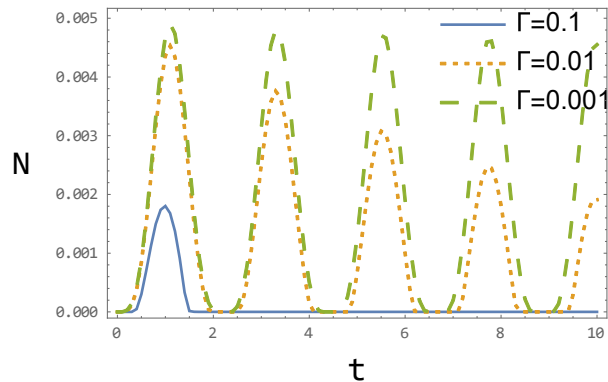
$$N(\rho) = \frac{\|\rho^{T_A}\| - 1}{2} \quad (15)$$

که در آن، $\|\rho^{T_A}\|$ نشان دهنده هنجار رد ρ^{T_A} است که نیز ترانهاد جزئی ماتریس چگالی دو اتم روی سامانه A است. در حقیقت، منفیت $N(\rho)$ معادل با جمع قدر مطلق ویژه مقادیر منفی ρ^{T_A} است.

برای بررسی دینامیک درهم تبیین‌گی بین دو اتم مربوط به سامانه معرفی شده در بخش ۲، تابع منفیت را با استفاده از رابطه (۱۵) محاسبه می‌کنیم.

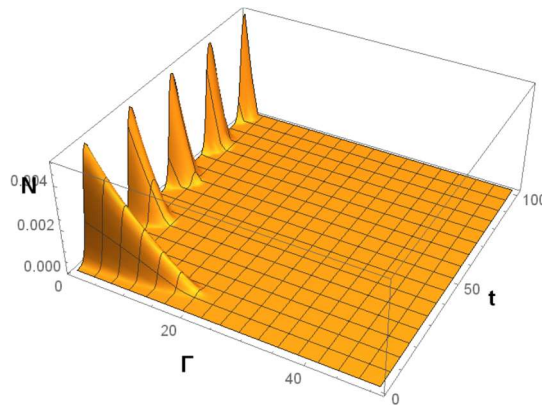
در شکل (۲) نمودار منفیت بر حسب زمان برای مقادیر مختلف Γ رسم شده است. با توجه به شکل (۲)، با افزایش Γ دامنه درهم تبیین‌گی کاهش و بسامد آن کاهش می‌یابد.

در شکل (۳) تغییرات منفیت بر حسب t و Γ رسم شده است. مشاهده می‌شود که با افزایش مقدار Γ منفیت کاهش می‌یابد. برای مقادیر کوچک Γ با گذشت زمان رفتار نوسانی تابع منفیت ادامه دارد.



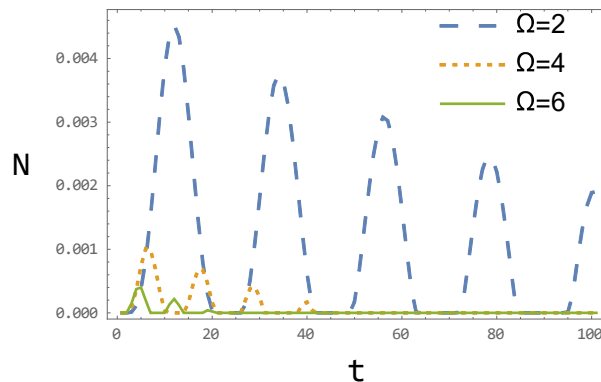
شکل ۲ منفیت بر حسب زمان برای مقادیر مختلف Γ به ازای $\Omega_l = \Omega_m = 0.2$ ، $\Omega_l = \Omega_m = 2$





شکل ۳ منفیت بر حسب زمان و Γ به ازای $\Omega_l = \Omega_m = 0.2$, $\Omega_l = \Omega_m = 2$

تغییرات منفیت بر حسب t و مقادیر مختلف $\Omega > 1$ در شکل (۴) رسم شده است. مشاهده می‌شود که با افزایش مقدار Ω دامنه درهم تنیدگی کاهش و بسامد آن افزایش می‌یابد. برای مقادیر کوچکتر Ω , رفتار نوسانی تابع منفیت در مدت زمان بیشتری ادامه می‌یابد.

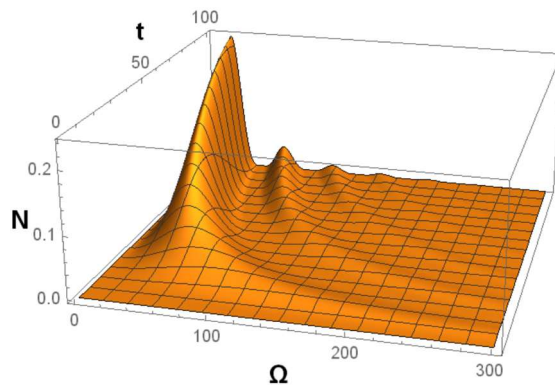


شکل ۴ منفیت بر حسب زمان برای مقادیر مختلف Ω به ازای $\Omega_l = \Omega_m = 0.2$, $\Gamma = 0.01$

$$\Gamma = 0.01$$

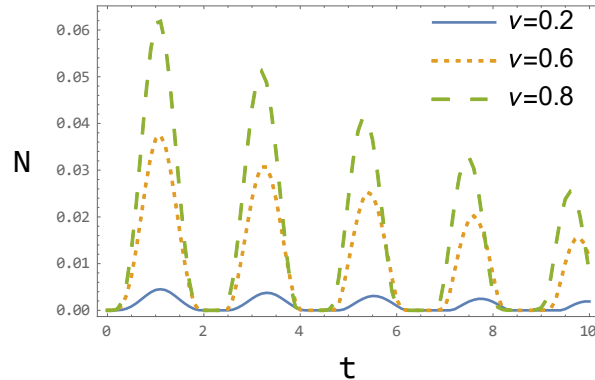
همچنین، نمودار منفیت بر حسب t و Ω در شکل (۵) رسم شده است. مشاهده می‌شود که ابتدا منفیت صفر است و برای مقادیر کوچک $\Omega_l = \Omega_m \leq 1$ درهم تنیدگی به سرعت بیشینه شده

و سپس با افزایش مقدار Ω دامنه درهم تنیدگی کاهش می‌یابد و با گذشت زمان منفیت صفر می‌شود.



شکل ۵ منفیت بر حسب زمان و Ω به ازای $v_l = v_m = 0.2$ و $\Gamma = 0.01$.

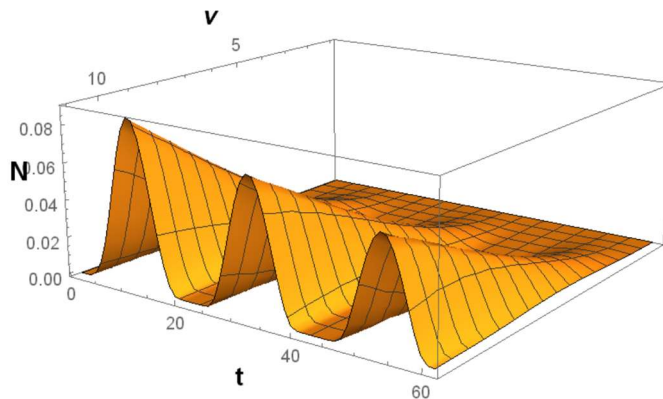
نمودار منفیت بر حسب زمان برای مقادیر مختلف v با فرض $v_l = v_m = v$ و $\Omega_l = \Omega_m = 4$ در شکل (۶) رسم شده است. مشاهده می‌شود که با افزایش مقدار v درهم تنیدگی افزایش می‌یابد و با گذشت زمان تابع منفیت به صفر میل می‌کند.



شکل ۶ منفیت بر حسب زمان برای مقادیر مختلف v به ازای $\Omega_l = \Omega_m = 2$ و $\Gamma = 0.01$.



با توجه به تغییرات منفیت بر حسب t و V در شکل (۷)، مشاهده می‌شود در لحظه شروع مقدار درهم‌تنیدگی به ازای همه مقادیر V صفر است، در مدت زمان کوتاهی رفتار تابع منفیت نوسانی است و سپس مرگ درهم‌تنیدگی به ازای مقادیر مختلف V در یک زمان روی می‌دهد.



شکل ۷ منفیت بر حسب زمان و V به ازای $\Gamma = 0.01$ و $\Omega_l = \Omega_m = 2$

۴. ترابرد درهم‌تنیدگی گرمایی

در این بخش هدف ما بررسی ترابرد کیوتريتی با استفاده از حالت دو-کیوتريتی در الگوی جیز-کامینگر است. اولین بار، ترابرد از راه یک شبکه یک بعدی به کمک بوز انجام شد [۲۹]. بر اساس این شیوه، ارسال حالت کوآنتومی میان دو اسپین انتهایی زنجیره انجام می‌گیرد. فرض می‌شود آليس اسپین ۱ام در اختیار دارد، در حالی که باب به اسپین ۲ام دسترسی دارد. آليس برای ارسال یک حالت ناشناخته به باب آن را در مکان ۱ام شبکه به عنوان حالت ورودی به کانال ترابرد کوانتومی قرار می‌دهد. ماتریس چگالی کاهش یافته این کانال دو کیوتريتی در معادله (۱۲) محاسبه شده است.

ابتدا حالت اولیه زیر را به عنوان حالت ورودی کانال درنظر گرفته می‌شود،

$$|\psi_{in}\rangle = \frac{1}{\sqrt{3}}(|0\rangle + |1\rangle + |2\rangle) \quad (16)$$

$$|2\rangle = \begin{pmatrix} 0 \\ 0 \\ 1 \end{pmatrix} \text{ و } |1\rangle = \begin{pmatrix} 0 \\ 1 \\ 0 \end{pmatrix}, |0\rangle = \begin{pmatrix} 1 \\ 0 \\ 0 \end{pmatrix} \text{ که در آن،}$$

ماتریس چگالی حالت ورودی برابر است با:

$$\rho_{in} = \frac{1}{3} \begin{pmatrix} 1 & 1 & 1 \\ 1 & 1 & 1 \\ 1 & 1 & 1 \end{pmatrix} \quad (17)$$

آنگاه ماتریس چگالی برای حالت خروجی از کanal با رابطه زیر به دست می‌آید [۳۰]:

$$\rho_{out} = \sum_{j=0}^8 Tr[E^j \rho(t)] \left\{ \Gamma^j \rho_{in} \Gamma^j \right\} \quad (18)$$

که در آن E^j ماتریس‌های چگالی حالت‌های بیشینه‌ی درهم‌تند دو کیوتربیتی و

$$\Gamma^j \quad (j = 1, \dots, 8) \text{ ماتریس‌های ژل-مان و } \Gamma^0 \text{ ماتریس همانی برای کیوتربیت‌ها هستند و } \rho(t)$$

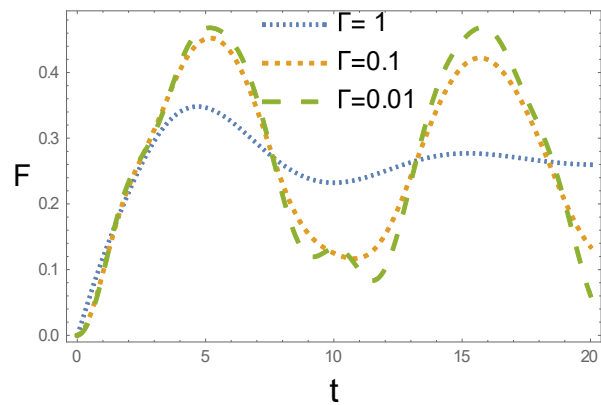
ماتریس چگالی داده شده در معادله (۱۲) است [۳۱].

درستی ارسال حالت را می‌توان از راه وفاداری تعیین کرد. با استفاده از وفاداری میزان شباهت حالت ورودی به حالت خروجی از کanal مشخص می‌شود. در حالت کلی، وفاداری یک عدد بین صفر و یک است. اگر حالت ورودی و خروجی یکسان باشند، وفاداری یک و در غیر این صورت وفاداری عددی کوچک‌تر از یک خواهد بود [۳۲، ۳۳]. رابطه وفاداری عبارت است از:

$$F = \left(Tr \sqrt{\rho_{in}^2 \rho_{out} \rho_{in}^2} \right)^2 \quad (19)$$

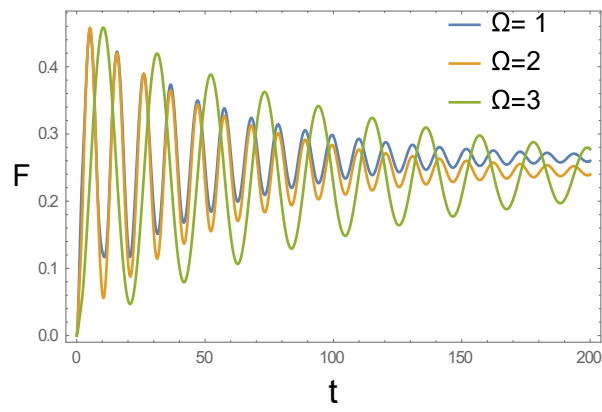
وفاداری محاسبه شده برای حالت دو-کیوتربیتی به صورت تابعی از t در شکل (۸) برای مقادیر مختلف Γ رسم شده است. نمودارها نشان می‌دهند که وفاداری با گذشت زمان رفتار نوسانی دارد. همچنین، دامنه نوسان وفاداری تابعی کاوهشی بر حسب پارامتر وامدوسی است.





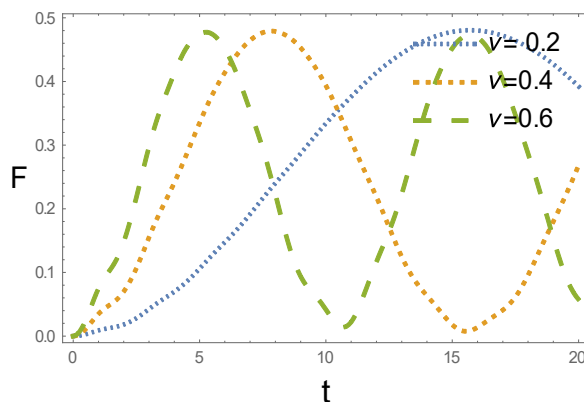
شکل ۸ وفاداری بر حسب زمان برای مقادیر مختلف Γ به ازای $\Omega_l = \Omega_m = 0.6$, $\Omega_l = \Omega_m = 2$

شکل (۹) وفاداری را بر حسب زمان به ازای مقادیر مختلف Ω برای حالت دو-کیوتیتی نشان می‌دهد. مشاهده می‌شود وفاداری تابعی نوسانی بر حسب زمان است. بر اساس شکل (۹)، برای مقادیر کوچک‌تر Ω ، دامنه نوسانات با گذشت زمان سریع‌تر کاهش می‌یابد تا به یک مقدار ثابت میل کند که این مقدار ثابت با افزایش Ω کاهش می‌یابد.



شکل ۹ وفاداری بر حسب زمان برای مقادیر مختلف Ω به ازای $\Omega_l = \Omega_m = \Omega$ و $\Gamma = 0.1$, $\Omega_l = \Omega_m = 0.6$

برای بررسی دقیق تر، وفاداری بر حسب زمان و به ازای مقادیر مختلف بسامد گذار اتمی برای حالت دو-کیوتیتی در شکل (۱۰) رسم شده است. همان طور که مشاهده می شود با افزایش بسامد گذار اتمی بسامد نوسانات افزایش می یابد و دامنه نوسانات مستقل از ν است.



شکل ۱۰ وفاداری بر حسب زمان برای مقادیر مختلف ν به ازای $\Gamma = 0.01$, $\Omega_i = \Omega_m = 2$

۵. نتیجه گیری

در این مقاله دینامیک درهم تبیدگی و ترابرد کوانتومی از راه یک حالت دو-کیوتیتی جفت شده با یک کاواک در الگوی جینز-کامینگر تحت واهمدوسی ذاتی بررسی شد. مشاهده شد که با افزایش پارامتر واهمدوسی ذاتی Γ مقدار درهم تبیدگی کاهش می یابد. افزون بر این، درهم تبیدگی به ازای مقادیر کوچک ضریب جفت شدگی میدان-اتم Ω ابتدا افزایش می یابد ولی برای مقادیر بزرگتر Ω تابع کاهشی است که با گذشت زمان، مقدار درهم تبیدگی سریع به صفر می کند. همچنین با افزایش بسامد گذار اتمی ν منفیت افزایش می یابد که با گذشت زمان برای مقادیر مختلف ν در یک زمان درهم تبیدگی به صفر می کند. سپس ترابرد از راه این کانال با محاسبه وفاداری مورد بررسی قرار گرفت. نتایج نشان داد در نمودار وفاداری افزایش Γ سبب کاهش دامنه نوسانات و افزایش ν سبب افزایش بسامد نوسانات است. همچنین، دامنه نوسانات با کاهش Ω سریع تر کاهش می یابد تا به یک مقدار ثابت می کند. همچنین مشاهده شد که پارامتر واهمدوسی ذاتی، ضریب جفت شدگی میدان-اتم و بسامد گذار اتمی بر دینامیک درهم تبیدگی و ترابرد تأثیر



کمایش یکسان دارند. از این رو، می‌توان با انتخاب مناسب این پارامترها یک کانال با وفاداری مؤثر برای انتقال اطلاعات در سامانه‌های کیوتربیتی طراحی کرد.

۶. تقدیر و تشکر

این تحقیق توسط دانشگاه شهید چمران اهواز، ایران [SCU.SP1401.12469] پشتیبانی شد.

منابع

- [1] Bouwmeester D., Pan J. W., Mattle K., Eibl M., Weinfurter H., and Zeilinger A. A., “Experimental quantum teleportation,” *Nature* **390**, 575 (1997).
- [2] Bouwmeester D., Mattle K., Pan J.W., Weinfurter H., Zeilinger A., and Zukowski M., “Experimental quantum teleportation of arbitrary quantum states,” *Appl. Phys. B* **67**, 749 (1998).
- [3] Bennett C. H. and Wiesner S. J., Communication via one and two-particle operators on Einstein-Podolsky-Rosen states, *Phys. Rev. Lett.* **69**, 2881 (1992).
- [4] Mattle K., Weinfurter H., Kwiat P. G., and Zeilinger A., Dense Coding in Experimental Quantum Communication, *Phys. Rev. Lett.* **76**, 4546 (1996).
- [5] Schumacher B., Quantum coding, *Phys. Rev. A* **51**, 2738 (1995).
- [6] Bennett C. H., Brassard G., Crepeau C., Jozsa R., Peres A., and Wootters W. K., Teleporting an unknown quantum state via dual classical and Einstein- Podolsky- Rosen channels, *Phys. Rev. Lett.* **70**, 1895 (1993).
- [7] Joos E., Zeh H. D., Kiefer C., Giulini D., Kupsch J., and Stamatescu I. O., Decoherence and the Appearance of a Classical World in Quantum Theory, Springer Press, 2nd edition (2003).
- [8] Milburn G. J., Intrinsic decoherence in quantum mechanics, *Phys. Rev. A* **44**, 5401-5406 (1991).
- [9] Caves C. M. and Milburn G. J., Quantum-mechanical model for continuous position measurements, *Phys. Rev. D* **36**, 5543(1987).
- [10]Milburn G. J., Kicked quantized cavity mode: An open systems theory approach, *Phys. Rev. A* **36**, 744 (1987).
- [11]Qin M. and Ren Z. Z., Influence of intrinsic decoherence on entanglement teleportation via a Heisenberg XYZ model with different Dzyaloshinskii-Moriya interaction, *Quantum information processing*, **14**, 2055-2066, (2015).
- [12]Bin S., Tian-Hai Z., and Jian Z., Influence of intrinsic decoherence on entanglement in two-qubit quantum Heisenberg XYZ chain, *Commun. Theor. Phys. (Beijing China)* **44**, 255-258 (2005).
- [13]Mohammadi H., Akhtarshenas S. J., and Kheirandish F., Influence of dephasing on the entanglement teleportation via a two-qubit Heisenberg XYZ system, *Eur. Phys. J. D* **62**, 439-447 (2011).
- [14]Guo J. L., Xia Y., and Song H. S., Effects of Dzyaloshinski-Moriya anisotropic antisymmetric interaction on entanglement and teleportation in a two-qubit Heisenberg chain with intrinsic decoherence, *Opt. Commun.* **281**, 2326 (2008).
- [15]Zheng L. and Feng Zhang G., Intrinsic decoherence in Jaynes-Cummings model with Heisenberg exchange interaction, *Eur. Phys. J. D* **71**, 288 (2017).
- [16]Hu M. L. and Lian H. L., State transfer in intrinsic decoherence spin channels, *Eur. Phys. J. D* **55**, 711–721(2009).



- [17]Moya-Cessa H., Buzek V., Kim M. S., and Knight P. L., Intrinsic decoherence in the atom-field interaction, Phys. Rev. A **48**, 3900 (1993).
- [18]Aty M. A., Cessa H. M., Sudden death and long-lived entanglement of two trapped ions, Phys. Lett. A **369**, 372 (2007).
- [19]Kuang L.-M. and Chen X., Exact solution of the Milburn equation for the two-photon Jaynes-Cummings model, J. Phys. A: Math. Gen. **27**, Lett 633 (1994).
- [20]Zhang X. T., Zhu A. D., and Zhang S., Intrinsic Decoherence of Two Atoms System with Kerr Medium Chin, Phys. Lett. **24**, 1460 (2007).
- [21]Ghoshooni A., Naji A. and Afshar D., Influence of intrinsic decoherence on the entanglement in two-qubit system under XYZ Jaynes- Cummings model in a two-qutrit system Heisenberg interaction in Jaynes-Cummings model, Proceedings of The First National Conference and Workshop on Quantum Information and Open Quantum Systems (2018).
- [22]Naji A., Hamzehofi R. and Afshar D., Entanglement teleportation via two qubits Heisenberg in Jaynes-Cummings model under intrinsic decoherence, IJPR.,**19**(3), 656 (2019).
- [23]Naji A. and Mollaei Zamani M., Study of thermal entanglement and teleportation in spin star networks in Heisenberg XXX model, IJAP., **10** (4),79 (2021).
- [24]Xu R., Zhou R-G., Li Y., Jiang S., and Ian H., Enhancing robustness of noisy qutrit teleportation with Markovian memory, EPJ Quantum Technology. **9**, 4 (2022).
- [25]Wang M. and Yan F., Probabilistic chain teleportation of a qutrit-state, CTP. **54**(2) 263(2010).
- [26]Lambropoulos P. and Petrosyan D., Fundamental of quantum optics and quantum information, Springer Press, Berlin (2007).
- [27]Vidal G. and Werner R. F., Computable measure of entanglement, Phys. Rev. A **65**, 032314 (2002).
- [28]Carteret H. A., Noiseless quantum circuits for the Peres separability criterion, Phys. Rev. Lett. **94** 040502 (2005).
- [29]Bowen G. and Bose S. Teleportation as a depolarizing quantum channel, relative entropy, and classical capacity”, Phys. Rev. Lett. **87** 267901 (2001).
- [30]Arvind, Mallesh K. S., and Mukundam N., A generalized pancharatnam geometric phase formula for three-level quantum systems, J. Phys. A. **30**(7), 2417 (1997).
- [31]Gell-Mann M. and Neeman Y., The eightfold way, W. A. Benjamin Inc., New York (1964).
- [32]Jozsa R., Fidelity for mixed quantum states, J. Mod. Opt. **41**, 2315 (1994).
- [33]Bowdrey M. D., Oi D. K. L., Short A. J., Banaszek K., and Jones J. A., Fidelity of single qubit maps, Phys. Lett. A. **294**, 258 (2002).



This article is an open-access article distributed under the terms and conditions of the Creative Commons Attribution-Noncommercial 4.0 International (CC BY-NC 4.0 license) (<http://creativecommons.org/licenses/by-nc/4.0/>).

